

# AEG Thyratron

ASG 5121

Tetrode mit Edelgasfüllung

Inert gas-filled Tetrode

Tétrode avec remplissage à gaz rare

Glasausführung

Glass type

Exécution verre

Miniaturröhre

Pico 7

Sockel B 7 G

Oxydkathode

Oxyde-coated-cathode

Cathode à oxyde

indirekt geheizt durch Gleich- oder Wechselstrom

indirectly D.C. or A.C. heated

chauffée indirectement par courant continu ou alternatif

Montageanordnung

Mounting position

Disposition de montage

beliebig

any

quelconque

Gewicht

Weight

Poids

0,01 kg

a = Anode

Anode

Anode

k = Kathode

Cathode

Cathode

g<sub>1</sub> = Steuergitter

Control grid

Grille de réglage

g<sub>2</sub> = Schirmgitter

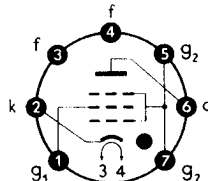
Screen grid

Grille de protection

f = Heizung

Heating

Chauffage



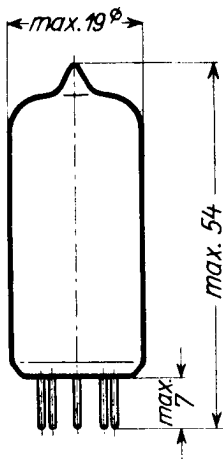
Sockelschaltbild  
von unten gesehen

Base connection  
viewed from below

Broches de la base,  
face à l'observateur

**Abmessungen**  
**Dimensions**  
**Dimensions**

} mm



**Freie Kontakte der Fassung dürfen nicht als Stützpunkte für Schaltmittel benutzt werden.**

**Free socket contacts must not be used for supporting any circuitry.**

**Les contacts libres de la douille ne doivent pas servir de points d'appui pour la filerie.**

# AEG Thyratron

ASG 5121

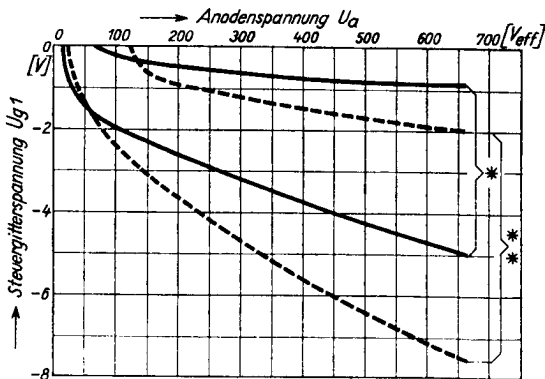
## Technische Werte Technical data Caractéristiques techniques

<b>Heizspannung</b> Filament voltage Tension de chauffage	$U_f$	$\left. \begin{array}{l} \\ \end{array} \right\} . 6,3V \pm 10\%$
<b>Heizstrom</b> Filament current Courant de chauffage	$I_f$ abt. env.	ca. 0,6 A
<b>Anheizzeit</b> Cathode heating time Durée de préchauffage	$t_h$	15 s
<b>Anodenspannung-Scheitelwert</b> Anode voltage (crest value) Tension anodique (valeur de crête)	$U_{asp}$	max. 650 V
<b>Sperrspannung-Scheitelwert</b> Inverse voltage (crest value) Tension d'arrêt (valeur de crête)	$U_{inv}$	max. 1300 V
<b>Anodenstrom-Scheitelwert</b> Anode current (crest value) Courant anodique (valeur de crête)	$I_{asp}$	max. 0,5 A
<b>Anodenstrom-Mittelwert</b> Anode current (average) Courant anodique (valeur moyenne)	$I_a$	max. 0,1 A
<b>Überlastungsstromstoß (für max. 0,1 s)*</b> Surge current of max. 0,1 s for design only*) Impulsion de courant anodique accidentel de printe admissible pendant 0,1 s max.*)	$I_{stoß}$	10 A
<b>Negative Spannung am Steuergitter bei gesperrter [gezündeter] Röhre (Scheitelwert)</b> Negative control grid bias of non-conducting [conducting] tube (crest value) Tension négatif de grille régulatrice pour tube bloqué [allumé] (valeur de crête)	$U_{g1,sp}$	max. -100 V [max. - 10 V]
<b>Negative Spannung am Schirmgitter bei gesperrter [gezündeter] Röhre (Scheitelwert)</b> Negative screen grid bias of non-conducting [conducting] tube (crest value) Tension négatif de grille protectrice pour tube bloqué [allumé] (valeur de crête)	$U_{g2,sp}$	max. -100 V [max. - 10 V]

\*) Angaben umseitig  
Particulars overleaf  
Données au verso

<b>Steuergitterstrom-Mittelwert</b> Control grid current (average) Courant de grille régulatrice (valeur moyenne)	$I_{g_1}$	max.	0,01 A
<b>Schirmgitterstrom-Mittelwert</b> Screen grid current (average) Courant de grille protectrice (valeur moyenne)	$I_{g_2}$		0,01 A
<b>Zulässige Spannung zwischen Heizung f und Kathode k</b> Max. permissible voltage between filament f and cathode k Tension admissible entre chauffage f et cathode k	$f \text{ neg. gegen } k$ $f \text{ neg. against } k$ $f \text{ neg. contre } k$ $f \text{ pos. gegen } k$ $f \text{ pos. against } k$ $f \text{ pos. contre } k$	$U_{fk}$	max. 100 V
			max. 25 V
<b>Brennspannung</b> Arc voltage drop Chute dans l'arc	$U_B$	ca. abt. env.	8 V
<b>Integrationszeit</b> Integration time Temps d'intégration	$\tau$		max. 30 s
<b>Ionisierungszeit</b> Ionization time Temps d'ionisation	$t_i$		0,5 $\mu$ s
<b>Freiwerdezeit</b> Recovery time Temps de recouvrement	$t_r$		75 $\mu$ s 35 $\mu$ s
<b>Gitter-Anoden-Kapazität</b> Grid-anode capacity Capacité anode-grille	$C_{ga}$		0,03 pF
<b>Eingangs-Kapazität</b> Grid-filament capacity Capacité d'entrée	$C_e$		2 pF
<b>Ausgangs-Kapazität</b> Anode-filament capacity Capacité de sortie	$C_a$		2,7 pF
<b>Gitterwiderstand</b> Grid resistance Résistance de grille	$R_g$		max. 10 M $\Omega$
<b>Umgebungstemperatur</b> Ambient temperature Température ambiante	$t_{amb}$		min. -75° C max. +90° C
<b>* Jeder Überlastungsstromstoß schädigt die Röhre, ohne sie jedoch völlig zu zerstören.</b>			

- Each overcurrent impulse is harmful, will, however, not destroy the valve completely.  
Tout appel de courant de surcharge endommage le tube, sans cependant le détruire complètement.



\* Streubereich      bei }  
 Zone of allowance      at }       $R_{g1} = 0,1 \text{ M}\Omega$   
 Bande de dispersion      à }

\*\* Streubereich      bei }  
 Zone of allowance      at }       $R_{g1} = 10 \text{ M}\Omega$   
 Bande de dispersion      à }

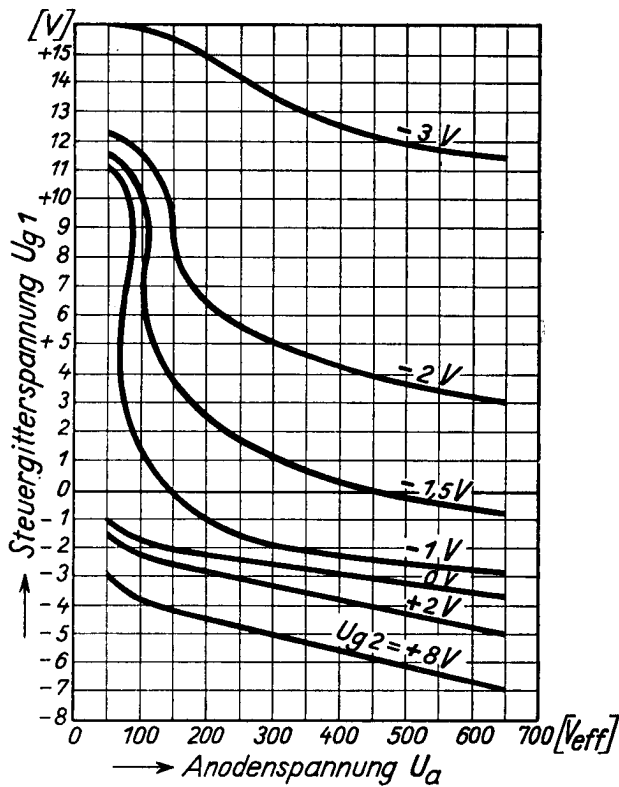
#### Kennlinienbereich bei Anschluß des Schirmgitters an die Kathode.

Firing characteristics of screen-grid thyratron with screen grid connected directly to cathode.

Bandes des caractéristiques pour raccord de la grille protectrice à la cathode.

Anodenspannung  $U_a$       { RMS anode voltage  
                                     Tension anodique

Steuergitterspannung  $U_{g1}$       { Control-grid bias  
                                     Tension de grille régulatrice



Zündkennlinien für jeweils konstante Schirmgitterspannungen  $U_{g_2}$ . Steuergitterspannung  $U_{g_1}$  in Abhängigkeit von der Anodenwechselspannung (Effektivwert) am Zündpunkt.

Firing characteristics of screen-grid thyratron at fixed screen-grid voltages  $U_{g_2}$  as parameter, showing the control-grid voltage  $U_{g_1}$  as function of the RMS value of the anode voltage at the firing point.

Caractéristiques d'allumage pour tensions constantes de grilles protectrices  $U_{g_2}$ . Tension de grille régulatrice  $U_{g_1}$  en fonction de la tension alternative d'anode (valeur effective) au point d'allumage.

$$R_{g_1} = 0 \Omega, \quad R_{g_2} = 0 \Omega.$$